

Эффективность программы показана в таблице 2 на примере сравнения статистических характеристик, полученных численным образом, и соответствующих экспериментальных данных.

Полученные результаты подтверждают эффективность предложенной методики. Проведенные разработки позволяют увеличить точность и достоверность оценки параметров, необходимых для прогнозирования сопротивления усталости в статистическом аспекте.

Библиографический список

1. Дуплякин В.М., Миноранский Р.Э., Коваленко Т.Д. Статистическое прогнозирование появления усталостных макротрещин на основе приложений теории "слабого" звена / Куйбышевск. авиац. ин-т. Куйбышев, 1989. 78 с. Деп. в ВНИИТИ 15.05.89, № 3191-В89.

УДК 539.43

А.С.Мостовой, А.В.Кириллов, А.Г.Прохоров

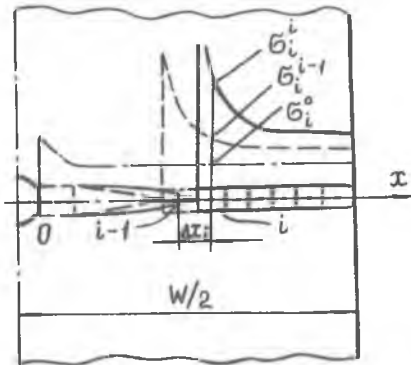
ПРИМЕНЕНИЕ МЕХАНИКИ РАЗРУШЕНИЯ ПРИ РАСЧЕТЕ УСТАЛОСТНОЙ ДОЛГОВЕЧНОСТИ КОНСТРУКЦИЙ

Предлагается метод расчета долговечности элементов конструкций, основанный на численной реализации линейно-дискретной гипотезы накопления повреждений. При этом напряженное состояние сечения с усталостной трещиной исследуется с использованием аппарата линейной механики разрушения. Теоретические результаты сопоставлены с экспериментальными данными.

Для оценки долговечности элементов конструкций эффективным оказалось применение метода расчета, изложенного в работе /1/. Метод основан на использовании линейно-дискретных представлений о механизме усталостного разрушения в комбинации с оценкой напряженного состояния деталей с усталостными трещинами при помощи аппарата линейной механики разрушения.

вопросы прочности и долговечности элементов
авиационных конструкций. Куйбышев, 1990

Сечение детали представляется в виде совокупности дискретных элементов (рис. I), в которых накапливается повреждение D , определяемое по линейному закону суммирования:



$$D = \sum_i \frac{n_i}{N_i}, \quad (1)$$

где n_i и N_i - соответственно пройденное и разрушающее число циклов при i -ом уровне напряжений в рассматриваемом дискретном элементе. При достижении повреждением критического значения ($D_{кр} = 1$) происходит разрушение дискретного элемента. Следует отметить, что линейный закон суммирования повреждений для

Рис. I

дискретного элемента (выражение (1)) принципиально отличается от гипотезы Пальмгрена-Майнера, которая применяется для всего сечения детали в целом.

Появление первой усталостной трещины в детали трактуется как разрушение наиболее напряженного дискретного элемента. Поэтому в качестве кривой усталости $\sigma_i(N_i)$ для дискретного элемента принимается кривая усталости по появлению в детали первых усталостных трещин, построенная в истинных напряжениях. Эта кривая получается при испытании образцов из данного материала и пересчитывается для детали в соответствии с теорией «слабого звена», учитывая масштабный фактор и концентрацию напряжений. Основное уравнение, используемое для оценки функции распределения долговечности $F(N)$, имеет вид

$$F(N) = 1 - \exp \left\{ \sum_i \left[- \int \left(\frac{\sigma(x,y) - \tau_0}{\tau_c} \right)^\alpha \left(\frac{N}{N_c} \right)^{d/m} ds \right] \frac{1}{S} \right\}, \quad (2)$$

где N_c - характерное число циклов; τ_0 , τ_c , α - параметры распределения Вейбулла-Гнеденко; m - показатель степени уравнения кривой усталости; S - площадь поперечного сечения детали; m - номер дискретного элемента. Суммирование ведется по всем дискретным элементам сечения детали, где $\sigma(x,y) < \tau_c$.

Последовательное разрушение дискретных элементов рассматривается как распространение усталостной трещины. Напряженное состояние в окрестности трещины определяется уравнением

$$\sigma_y = K_I / \sqrt{2\pi r}, \quad (3)$$

Здесь σ_y - напряжение в точке на удалении r от устья трещины при упругом поведении материала; K_I - коэффициент интенсивности напряжений. Для устранения сингулярности в устье трещины напряжение в i -ом дискретном элементе, приближающемся к устью, определяется как среднеинтегральное по длине Δx дискретного элемента:

$$\sigma_{yi} = \int_0^{\Delta x} \sigma_y(x) dx / \Delta x = K_{Ii} \sqrt{\frac{2}{\pi \Delta x}}, \quad (4)$$

где $K_{Ii} = \lambda_i \sigma_{\delta p} \sqrt{\pi l_i}$ - коэффициент интенсивности напряжений при размерах трещины, достигшей i -го дискретного элемента; $\sigma_{\delta p}$ - напряжение-брутто; l_i - длина трещины; λ_i - поправочная функция, учитывающая конечные размеры детали, форму трещины, изменение геометрических характеристик сечения, ослабленного трещиной /2/, а также наличие трещины малой длины. Последнее обстоятельство учитывается введением в λ_i сомножителя /3/ вида

$$\lambda(\psi) = \frac{0,385}{\psi \sqrt{1-\psi}} \geq 1, \quad \psi = \sigma / \sigma_B. \quad (5)$$

Параметр ψ изменяется в пределах $0,667 < \psi < 1$. При $\psi < 0,667$ функция $\lambda(\psi) = 1$. При $\psi = 1$ ($\sigma = \sigma_B$) происходит разрушение детали без появления начальных дефектов (усталостных трещин).

Переход от определяемых таким образом упругих напряжений σ_{yi} к истинным (упругопластическим) напряжениям σ_i , в отличие от схемы Нейбера, производится по формуле, полученной в работе /4/ из условия сохранения удельной энергии деформации $A_{уд}$:

$$\sigma_i = \left\{ \left[\sigma_{yi}^2 - \frac{(m_1-1)}{(m_1+1)} \sigma_T^2 \right] \frac{m_1+1}{2\sigma_T \frac{m_1-1}{m_1}} \right\}^{\frac{m_1}{m_1-1}}. \quad (6)$$

Здесь m_1 - характеристика упрочнения материала в упругопластической области ($0 \leq m_1 \leq 1$) при степенной аппроксимации кривой деформирования $\sigma = \sigma_T (\varepsilon/\varepsilon_T)^{m_1}$. σ_T - предел текучести материала, ε_T - деформация при $\sigma = \sigma_T$.

На рис. 2 графически показано определение истинных напряжений указанным способом ($A_{yd} = const$), а также по формуле Нейбера ($\sigma \cdot \varepsilon = const$) и методом редуционных коэффициентов ($\varepsilon = const$).

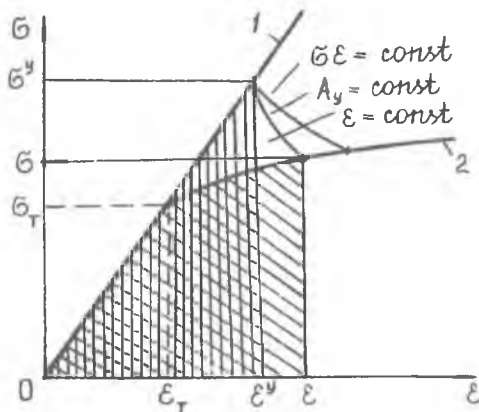


Рис. 2

Зная напряженное состояние конструктивного элемента и располагая кривыми усталости по появлению трещины, можно прогнозировать процесс усталостного разрушения в соответствии со следующей моделью. Под действием нагрузки появление усталостной трещины (разрушение наиболее нагруженного дискретного элемента — элемента «0») произойдет при накоплении в нем критического повреждения $D_0^o = 1 = n_0 / N(\sigma_0^o)$, т.е. через n_0 циклов. Во всех последующих дискретных элементах накапливаются усталостные повреждения, соответственно равные

$$D_1^o = \frac{n_0}{N(\sigma_1^o)}, \quad D_2^o = \frac{n_0}{N(\sigma_2^o)}, \quad \dots, \quad D_i^o = \frac{n_0}{N(\sigma_i^o)},$$

где D_i^o , σ_i^o — накопленное повреждение и напряжение в i -и дискретном элементе в момент разрушения элемента «0»; $N(\sigma_i^o)$ — разрушающее число циклов при напряжении σ_i^o , определенное кривой усталости по моменту появления трещины.

Момент разрушения следующего дискретного элемента — «1» определяется выражением

$$D_1^1 = \frac{n_0}{N(\sigma_1^1)} + \frac{\Delta n_1}{N(\sigma_1^1)} = i,$$

откуда находим число циклов Δn_1 (времени) продвижения трещины от

элемента «0» к элементу «1» и скорость продвижения трещины $(\Delta x / \Delta n)_i$. Одновременно i -й дискретный элемент получит приращение повреждения $\Delta D_i^1 = \Delta n_i / N(\sigma_i^1)$. Момент его разрушения определяется из условия

$$D_i^1 = \sum_{k=0}^{k=i} \frac{\Delta n_k}{N(\sigma_k^1)} = 1. \quad (7)$$

Поскольку все предыдущие значения $\Delta n_1, \dots, \Delta n_{i-1}$ вычислены, то может быть определена скорость продвижения трещины $(\frac{\Delta x}{\Delta n})_i$. При этом долговечность детали равна

$$N = n_0 + \sum_{i=1}^{i=k} \Delta n_i. \quad (8)$$

Момент разрушения детали трактуется как момент весьма большого возрастания скорости распространения трещины $V_k = (\Delta x / \Delta n)_k$ (принято $V_k^{\text{пред}} = 0,25$ мм/сек), или как достижение критического значения коэффициентом интенсивности напряжений ($K_{1k} = K_{fc}$), или как достижение локальными напряжениями в устье трещины величины истинного сопротивления разрыву материала ($\sigma_k = S_k$). Эти критерии разрушения примерно равнозначны.

Моделирование процесса усталостного разрушения проведено на ЭВМ СМ-4. Разработан сервисный пакет прикладных программ на языке ФОРТРАН.

Для конструктивного элемента - плоской пластины с центральным отверстием, выполненной из материала АМг-6М, - на рис.3 приведено сопоставление расчетных и экспериментальных кинетических диаграмм усталостного разрушения.

Известно, что использование аппарата линейной механики разрушения дает хорошее согласование с экспериментом на среднем участке кинетической диаграммы. Применение анализа накопления повреждений для каждой точки сечения по-

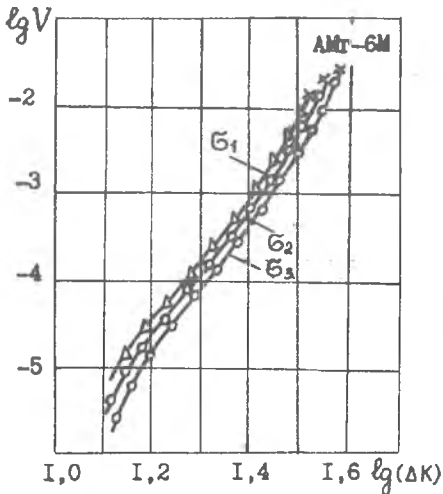


Рис. 3

зволюло более точно оценить поведение малых трещин и получить согласование результатов на начальном и конечном участках кинетической диаграммы усталостного разрушения.

Библиографический список

1. Мостовой А.С. Определение долговечности образца на основе некоторых представлений о механизме усталостного разрушения // Вопросы прочности элементов авиационных конструкций: Сб. научн. трудов. Вып. 39. Куйбышев: КуАИ, 1968. С. 108-118.
2. Брок Д. Основы механики разрушения. М.: Высшая школа, 1980. 368 с.
3. Кириллов А.В., Мостовой А.С. Определение коэффициента интенсивности напряжений для трещин малых размеров // Вопросы прочности и долговечности элементов авиационных конструкций: Сб. научн. трудов. Куйбышев: КуАИ, 1986. С. 142-145.
4. Кириллов А.В., Мостовой А.С. К определению напряжений и деформаций в упругопластической области // Прочность и долговечность элементов конструкций летательных аппаратов: Сб. научн. трудов: Куйбышев: КуАИ. 1984. С. 137-142.

УДК 629.7.02.015.4

С.Н.Перов, С.П.Рассказов

НОРМИРОВАНИЕ НАГРУЗКИ НА ТРЕУГОЛЬНЫЙ КЕССОН ПО КРИТЕРИЮ НАДЕЖНОСТИ

Изложена методика расчетного определения предельной нагрузки крыла по критерию надежности. Задача решена в двух вариантах. В первом варианте рассчитывается неповрежденная конструкция, во втором - конструкция со сквозной трещиной в растянутой панели. Приведены результаты расчета модели треугольного кессона.

Целью настоящей работы является расчетное определение предель-

Вопросы прочности и долговечности элементов авиационных конструкций. Куйбышев, 1990
